



Wpływ mineralnej sekwestracji CO₂ na wymywalność zanieczyszczeń z żużli z hutnictwa stali

Alicja Uliasz-Bocheńczyk, Eugeniusz Mokrzycki***

**AGH Akademia Górniczo-Hutnicza,*

***Instytut Gospodarki Surowcami Mineralnymi i Energią PAN*

1. Wprowadzenie

Hutnictwo żelaza i stali jest jednym ze znaczących przemysłowych źródeł emisji CO₂. Emisja CO₂ z tej branży wyniosła w 2012 roku 1692,93 Gg (Raport... 2014).

Zarazem w procesie produkcyjnym powstają odpady w postaci żużli, które mogą stanowić surowiec do wiązania CO₂ na drodze mineralnej karbonatyzacji. W hutnictwie żelaza i stali powstają żużle wielkopiecowe i stalownicze (Pogorzałek & Różański 2010), które są zaliczone według Rozporządzenia Ministra Środowiska z dnia 9 grudnia 2014 r. w sprawie katalogu odpadów do grupy 10 – Odpady z procesów termicznych, podgrupy 10 02 – Odpady z hutnictwa żelaza i stali.

Żużle stalownicze stosowane są przede wszystkim do produkcji kruszyw do betonu i kruszywa drogowego (Galos i in. 2009; Pogorzałek & Różański 2010).

Granulowane żużle piecowe znajdują zastosowanie przede wszystkim do produkcji cementu oraz mogą być stosowane do wytwarzania betonów, zapraw i zaczynów, co regulowane jest odpowiednimi normami: PN-EN 15167-1:2007. Mielony granulowany żużel wielkopiecowy do stosowania w betonie, zaprawie i zaczynie – Część 1: Definicje, specyfikacje i kryteria zgodności oraz PN-EN 197-1:2012. Cement – Część 1: Skład, wymagania i kryteria zgodności dotyczące cementów powszechnego użytku.

Pomimo, że żużle są obecnie stosowane przemysłowo, ze względu na wymogi dotyczące ograniczenia emisji CO₂, warto przebadanie żużle z hutnictwa żelaza i stali, ze względu na ich właściwości i poznać ich potencjał mineralnej sekwestracji. Potencjał sekwestracji zawiesin wodnych żużli stalowniczych oraz żużli stalowniczych i wielkopiecowych w procesie gaz-ciało stałe zostały wstępnie określone (Uliasz-Bocheńczyk 2009).

Ważnym zagadnieniem związanym z mineralną sekwestracją ditlenku węgla jest jego wpływ na wymywalność zanieczyszczeń ze stosowanych w procesie odpadów; ma to istotne znaczenie dla ochrony środowiska przyrodniczego.

W artykule przedstawiono wyniki badań wpływu mineralnej sekwestracji CO₂ na wymywalność zanieczyszczeń z żużli wielkopiecowych i stalowniczych przy prowadzeniu procesu gaz-ciało stałe.

2. Mineralna karbonatyzacja przy zastosowaniu żużli hutniczych

Żużle hutnicze, przede wszystkim pochodzące z hutnictwa żelaza i stali, ze względu na swój skład chemiczny, są potencjalnym surowcem do wiązania CO₂ na drodze mineralnej karbonatyzacji.

Mineralna karbonatyzacja przy zastosowaniu żużli hutniczych może być prowadzona metodą bezpośrednią (jako proces jednoetapowy) lub pośrednią.

Metoda bezpośrednia sekwestracji CO₂ przy zastosowaniu żużli prowadzona jest najczęściej jako proces gaz-zawiesina wodna odpadów (Huijgen 2007; Chang i in. 2011; Santos i in. 2013; Baciocchi i in. 2008; Sánchez & Martínez 2010; Uliasz-Bocheńczyk 2009).

Karbonatyzacja pośrednia (dwuetapowy proces – najpierw jony Ca oraz Mg poddawane są ekstrakcji, a następnie reakcji z CO₂) dla żużli została badana przy zastosowaniu czynników lugujących takich jak: NH₄Cl, kwas octowy oraz wodorotlenek sodu, kwas octowy (CH₃COOH), kwas azotowy (HNO₃), kwas propanowy (C₂H₅COOH) oraz roztwory soli: NH₄NO₃, NH₄Cl, CH₃COONH₄ (Kodama i in. 2006; Eloneva i in. 2008).

Przy badaniach dotyczących mineralnej karbonatyzacji prowadzono również badania wymywalności zanieczyszczeń (Baciocchi i in. 2010 a, b; Santos i in. 2013).

Prowadzono również badania wymywalności jonów wapnia oraz magnezu dla mineralnej sekwestracji oraz badano pozostałości z procesu, które mogą zostać potencjalnie wykorzystane jako kruszywo budowlane (Nienczewski i in. 2008).

Badania procesu mineralnej sekwestracji CO₂ w żużlach z hutnicza dotyczą również możliwości produkcji węglanu wapnia (Eloneva i in. 2010).

3. Materiały zastosowane do badań

Do badań zastosowano żużle stalownicze i granulowane oraz żużle wielkopiecowe (rys. 1, 2) o składach chemicznych przedstawionych w tabeli 1.

Tabela 1. Skład chemiczny żużli wykorzystanych w badaniach, %
Tabela 1. Chemical composition of slags used for researches, %

Składnik	Żużel stalowniczy	Żużel wielkopiecowy
SiO ₂	17	39
CaO	20	44
MgO	8	5
Al ₂ O ₃	4	9
Fe ₂ O ₃	33	0,5



Rys. 1. Granulowane żużle wielkopiecowe
Fig. 1. Granulated blast furnace slag

Rys. 2. Żużle stalownicze
Fig. 2. Steel slag

Żużle wielkopiecowe charakteryzują się wyższą zawartością CaO i SiO₂ w stosunku do żużli stalowniczych, w których z kolei znaczącą ilość stanowi Fe₂O₃.

Żużle hutnicze najczęściej charakteryzuje się przy wykorzystaniu współczynnika aktywności Z (Kurdowski 2010):

$$Z = (\text{CaO} + \text{MgO} + \text{Al}_2\text{O}_3)/\text{SiO}_2 \quad (1)$$

wynoszącego odpowiednio: dla badanego żużla wielkopiecowego – 1,48 i 1,88 dla stalowniczego.

4. Metodyka badań

Żużle poddano działaniu 100% CO₂ w szczelnie zamkniętych komorach przez okres 28 dni.

Proces prowadzono metodą bezpośrednią gaz-ciało stałe w obecności wody. Prowadzenie sekwestracji metodą bezpośrednią gaz-ciało stałe w obecności wody, w której żużle nie są mielone, nie wymaga wydatkowania dodatkowej energii. Żużle przed umieszczeniem w komorach zostały zwilżone wodą w celu aktywacji procesu karbonatyzacji.

W ramach określania wpływu CO₂ na właściwości zawiesin odpadowo-wodnych wykonano oznaczenie pH oraz badania wymywalności zanieczyszczeń.

Badania wymywalności zanieczyszczeń chemicznych wykonano zgodnie z normą PN-EN 12457-2:2006 – Charakteryzowanie odpadów – Wymywanie – Badanie zgodności w odniesieniu do wymywania ziarnistych materiałów odpadowych i osadów – Część 2.

5. Wymywalność z żużli hutniczych

Proces karbonatyzacji przy zastosowaniu żużli z hutnictwa stali przebiega według następujących etapów (Huijgen i in. 2005; Huijgen 2007):

1. Dyfuzja jonów Ca²⁺ w kierunku powierzchni ziaren żużla.
2. Przechodzenie jonów Ca²⁺ z powierzchni ziaren żużla do roztworu.
3. Rozpuszczanie gazowego CO₂.
4. Konwersja CO_{2(aq)} w jony wodorowęglanowe.
5. Wytrącanie się CaCO₃.

Czynnikiem ograniczającym powstawanie kalcytu jest maksymalna ilość dostępnych jonów wapnia w środowisku wodnym.

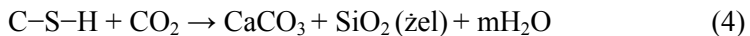
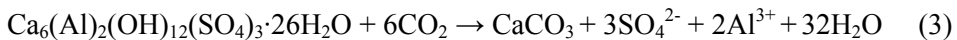
Szybkość reakcji karbonatyzacji najprawdopodobniej jest uzależniona od wymywialności jonów Ca²⁺ (Huijgen i in. 2005). Wymywialność jonów Ca z badanych żużli była bardzo wysoka dla żużli stalowniczych w porównaniu z wielkopiecowymi (tabela 2). Bardzo niskie stężenie jonów wapnia w odciekach może świadczyć o zachodzeniu procesu karbonatyzacji, w wyniku, której będzie wytrącać się kalcyt.

Tabela 2. Wymywialność jonów wapnia i magnezu z żużli hutniczych, mg/dcm³
Tabela 2. Leaching of chemical calcium and magnesium ions from slag, mg/dcm³

Zawartość jonów	Żużel stalowniczy	Żużel stalowniczy po poddaniu go działaniu CO ₂	Żużel wielkopiecowy	Żużel wielkopiecowy po poddaniu go działaniu CO ₂
Ca	28,90	4,03	3,11	2,36

Obniżenie pH stwierdzone po poddaniu żużli procesowi karbonatyzacji (tabela 3) spowodowane jest reakcją Ca(OH)₂ z CO₂ i powstaniem CaCO₃ (Rendek i in. 2006).

Na wymywialność jonów wapniowych ma wpływ powstawanie faz wapniowych takich jak: C-S-H, ettringit i kalcyt. Najprawdopodobniej podczas karbonatyzacji żużli hutniczych zachodzą następujące reakcje (Huijgen & Comans 2006):



Poddanie działaniu CO₂ badanych żużli w niewielkim stopniu wpłynęło na wymywialność zanieczyszczeń, ale znaczco zredukowało wartość pH.

Wymywialność jest problemem bardzo złożonym i jest wynikiem działania wzajemnie od siebie zależnych procesów. Wśród nich należy wymienić: hydrolizę, hydrację, rozpuszczanie/wytrącanie, utlenianie/redukcję, tworzenia kompleksów, sorpcję, powstawania roztworów stałych i nowych minerałów (Polettini & Pomi 2004).

Tabela 3. Wymywalność zanieczyszczeń z badanych żużli hutniczych, mg/dcm³
Table 3. Leaching of chemical impurities from slag, mg/dcm³

Rodzaj zanieczyszczeń chemicznych	Żużel wielkopiecowy	Żużel wielkopiecowy po poddaniu go działaniu CO ₂	Żużel stalowniczy	Żużel stalowniczy po poddaniu go działaniu CO ₂
Ba	0,003	0,001	0,062	0,003
Sr	0,008	0,005	0,072	0,016
Mn	0,003	0,002	0,001	< 0,001
Zn	0,001	0,001	0,001	< 0,001
Cu	0,0240	0,0200	0,0005	0,0003
Ni	0,00150	0,00100	0,00150	0,00077
Co	0,00018	0,00015	0,00027	0,00005
Pb	0,0001	0,0001	0,0001	< 0,0001
Hg	0,0004	0,0002	0,0026	< 0,0002
Cd	0,00002	0,00002	0,00002	< 0,00002
Sb	0,00080	0,00040	0,00082	0,00019
Cr	0,0002	0,0002	0,0002	< 0,0002
Mo	0,018	0,004	0,009	0,002
V	0,0040	0,0020	0,0020	0,0020
As	0,0005	< 0,0005	0,0005	< 0,0005
Cl	8,2	16,3	11,2	8,2
SO ₄	10,4	20,7	15,5	10,10
pH	10,5	9,6	11,5	9,8

Wyniki badań wymywalności żużli stalowniczych i wielkopiecowych wykazały, że wprowadzenie ditlenku węgla wpłynęło na obniżenie stężenia jonów Ba, Sr, Mn, Ni, Co, Hg, Sb, V, Cu. Stwierdzona redukcja wymywalności Ba, Co, Ni, Sb, V, Mn z żużli hutniczych potwierdza wyniki badań uzyskane przez innych autorów (Huijgen & Comans 2006; Santos i in. 2013).

Czynnikami mającymi największy wpływ na ograniczanie wymywalności, spowodowanymi zachodzeniem procesu karbonatyzacji jest: obniżenie pH odcieków, zmiany w rozpuszczalności z powodu wytrącania się węglanów, a także obniżenie uwalniania wybranych metali

przez ich sorpcję na kalcycie oraz obniżenie porowatości matrycy w wyniku powstawania kalcytu (Zhang i in. 2008).

Stężenie jonów Ba ze świeżych żużli jest najprawdopodobniej kontrolowana przez rozpuszczalność BaSO_4 , a ograniczenie wymywialności następuje w wyniku tworzenia się BaCO_3 . Obniżenie wymywialności jonów Sr i Cu następuje najprawdopodobniej w wyniku tworzenia się węglanów; odpowiednio SrCO_3 i CuCO_3 (Costa i in. 2007).

Redukcja wymywialności tych jonów może wynikać również wynikać z powstania roztworu stałego, poprzez wbudowanie jonów Ba i Sr w strukturę kalcytu (Huijgen & Comans 2006).

Wymywialność jonów V sugeruje obecność faz, w których może być on wbudowywany, które przy pH pomiędzy 12,5 a 9,5 powoduje rozpuszczanie tych faz. Po procesie karbonatyzacji obniżenie wymywialności V jest najprawdopodobniej w wyniku sorpcji, tak jak w przypadku jonów Ni i Co (Huijgen & Comans 2006).

Sorpcja na kalcycie, prowadząca do współwytrącania jest bowiem jednym z najważniejszych czynników obniżających wymywialność jonów: Mn, Co, Ni, Pb, Sr. Metale te mogą podstawać pozycje zajmowane przez Ca^{2+} w strukturze kalcytu (Reeder 1996).

Obniżenie wymywialności jonów Mo spowodowane jest najprawdopodobniej powstawaniem PbMoO_4 (Cornelis 2008).

Wymywialność pozostałych zanieczyszczeń: Zn, Pb, Cd, Cr, As nie uległy zmianie. Zwiększenie wymywialności stwierdzono dla jonów chlorkowych i siarczanowych (tabela 4).

Stwierdzona w wyniku badań wysoka wymywialność, może być spowodowana rozkładem ettringitu w wyniku karbonatyzacji i powstaniem dobrze rozpuszczalnego CaSO_4 (Todorovic & Ecke, 2006).

Wymywialność chlorków po procesie karbonatyzacji jest niezależna od pH roztworu, stosunkowo szybka i niekontrolowana przez granice rozpuszczalności (Todorovic & Ecke, 2006).

Wyniki przeprowadzonych badań można porównać z wymywialnością zanieczyszczeń z zawiesin wodnych żużli stalowniczych o zawartości 40% CaO (Ułasz-Bocheńczyk 2009) (tabela 4).

Proces sekwestracji CO_2 w zawiesinach był prowadzony metodą bezpośrednią gaz-zawiesina.

Jednak wykonanie zawiesin wymaga rozdrobnienia żużli – czyli dodatkowego zużycia energii, a tym samym spowodowanie pośredniej emisji CO₂.

Tabela 4. Wymywalność zanieczyszczeń chemicznych z zawiesin wodnych żużli stalowniczych (Uliasz-Bocheńczyk 2009)

Tabela 4. Leaching of chemical impurities from aqueous suspensions steel slag (Uliasz-Bocheńczyk 2009)

Rodzaj zanieczyszczeń chemicznych mg/dm ³ , oraz pH	Zawiesina z żużlem	
	czysta	z CO ₂
Zn	0,013	0,007
Cu	0,001	0,001
Pb	0,0052	0,0052
Ni	0,0015	0,0007
As	0,0014	0,0014
Hg	0,0008	0,0006
Cd	0,0001	0,0001
Cr	0,005	0,005
Cl	550	10
SO ₄	22	22
pH	12,5	10,0

Wyniki tych badań wykazały, że wprowadzenie CO₂ spowodowało obniżenie wielkości wymywalności cynku, niklu, rtęci, chlorków, wartości pH, a wielkości wymywalności pozostałych zanieczyszczeń: chromu, miedzi, ołowiu, arsenu, kadmu, siarczanów nie uległy zmianie.

W porównaniu z zawiesinami żużla stalowniczego, z żużli niemielonych, jedynie zwilżonymi wodą, stwierdzono niższą wymywalność Zn, Cu, Pb, Cr, As, SO₄, Cl, co najprawdopodobniej było spowodowane zmienieniem – redukcją wymiaru cząstek żużli (Huijgen & Comans 2006).

6. Podsumowanie i wnioski

Mineralna sekwestracja jest metodą interesującą szczególnie dla zakładów, w których powstają odpady mineralne mogące być wykorzystane do wiążania CO₂.

Żużle z hutnictwa stali znajdują szerokie zastosowanie gospodarcze, ale z punktu widzenia poznawczego interesujące jest poznanie procesu wiązania CO₂ przy zastosowaniu tego typu odpadów.

Przy analizie procesu mineralnej sekwestracji CO₂, bardzo ważnym aspektem jest wpływ prowadzenia procesu na wartość pH i wymysalność zanieczyszczeń.

Uzyskane wyniki badań potwierdzają wpływ oddziaływanego CO₂ na obniżenie pH – świadczące o przebiegu procesu mineralnej sekwestracji.

Otrzymane rezultaty badań wymysalności zanieczyszczeń z żużli stalowniczych i wielkopiecowych potwierdziły wyniki uzyskane przez innych autorów i wykazały, że wprowadzenie ditlenku węgla wpłynęło na obniżenie stężenia jonów Ba, Sr, Mn, Ni, Co, Hg, Sb, V, Cu.

*Artykuł opracowano w ramach badań statutowych
AGH nr 11.11.100.482.*

Literatura

- Baciocchi, R., Costa, G., Di Bartolomeo, E., Di Kamillo, V., Polettini, A., Pomi, R., (2008). Accelerated carbonation of different size fractions of stainless steel slag. *Proceedings of 2nd International Conference on Accelerated Carbonation for Environmental and Materials Engineering, Roma*, 257-266.
- Baciocchi, R., Costa, G., Di Bartolomeo, E., Polettini, A., Pomi, R. (2010)a. Comparison of different process routes for stainless steel slag carbonation. *Proceedings of Third International Conference on Accelerated Carbonation for Environmental Engineering ACEME10, Åbo Akademi University, Åbo/Turku*, 193-202.
- Baciocchi, R., Costa, G., Polettini, A., Pomi, R. (2010)b. The influence of carbonation on major and trace elements leaching from various types of stainless steel slag. *Third International Conference on Accelerated Carbonation for Environmental Engineering ACEME10, Åbo Akademi University, Åbo/Turku*, 215-226.
- Chang, E.-E., Pan, S.-Y., Chen, Y.-H., Chu, H.-W., Wang, Ch.-F., Chiang P.-Ch. (2011) CO₂ sequestration by carbonation of steelmaking slags in an autoclave reactor. *Journal of Hazardous Materials*, 195, 107-114.
- Cornelis, G., Johnson, A., Van Gerven, T., Vandecasteele, C.(2008). Leaching mechanisms of oxyanionic metalloid and metal species in alkaline solid wastes: A review. *Applied Geochemistry*, 23, 955-976.

- Eloneva, S., Puheloinen, M.E., Kanerva, J., Ekroos, A., Zevenhoven, R., Fogelholm, C.J. (2010). Co-utilisation of CO₂ and steelmaking slags for production of pure CaCO₃. legislative issues. *Journal of Cleaner Production*, 18, 833-1839.
- Eloneva, S., Teir, S., Salminen, J., Fogelholm, C.J., Zevenhoven, R. (2008): Fixation of CO₂ by carbonating calcium derived from blast furnace slag. *Energy*, 33, 1561-1467.
- Galos, K., Gawlicki, M., Hyencar, E., Lewicka, E., Nieć, M., Ratajczak, T., Szlugaj, J., Wyszomirski, P. (2009). *Mineralne surowce odpadowe*. Kraków: Wydawnictwo Instytutu GISMiE PAN, 261.
- Huijgen W.J.J., Witkamp G.J., Comans R.N.J., (2005). Mineral CO₂ sequestration by steel slag carbonation. *Environmental Science and Technology*, 39, 9676-9682.
- Huijgen, W.J.J. & Comans, R.N.J. (2006). Carbonation of steel slag for CO₂ sequestration: Leaching of products and reaction mechanisms. *Environmental Science and Technology*, 40, 2790-2796.
- Huijgen, W.J.J. (2007). *Carbon dioxide sequestration by mineral carbonation. feasibility of enhanced natural weathering as a CO₂ emission reduction technology*. Energy Research Centre of The Netherlands, 232.
- Raport...2014 – Krajowy raport inwentaryzacyjny 2014. Inwentaryzacja gazów cieplarnianych w Polsce dla lat 1988-2012. Krajowy Ośrodek Bilansowania i Zarządzania Emisjami, Warszawa, maj 2014.
- Kodama, S., Nishimoto, T., Yogo, K., Yamada, K. (2006). Design and evaluation of a new CO₂ fixation process using alkaline-earth metal wastes. 8th International Conference on Greenhouse Gas Control Technologies, 19-22 June, Trondheim, Norway.
- Kurdowski, W. (2010). *Chemia cementu i betonu*. Kraków, Warszawa: Wyd. Polski Cement; Wyd. Naukowe PWN, 728.
- Nienczewski, J.R., Alves, S.M.S., Costa, G.S., Amaral, L.C., Dullis, J.E.L., Ligabue, R.A., Ketzer, J.M., Einloft, S. (2008). Improving the extraction of calcium and magnesium oxides of steel slag aiming carbonates for mitigation of steelmaking slag. *Proceedings of 2nd International Conference on Accelerated Carbonation for Environmental and Materials Engineering, 1-3 October*, Roma, Italy, 249-256.
- Pogorzałek, J. & Różański, P. (2010). Utylizacja żużli stalowniczych. *Prace IMŻ*, 1, 281-285.
- Polettini A., Pomi R. (2004). Leaching behaviour of incineration bottom ash by accelerated ageing. *Journal of Hazardous Materials B* 113, 209-215.

- Rendek, E., Ducom, G., Germain, P., (2006). Carbon dioxide sequestration in municipal solid waste incinerator (MSWI) bottom ash. *Journal of Hazardous Materials B* 128, 73-79.
- Reeder R.J. (1996). Interaction of divalent cobalt, zinc, cadmium and barium with calcite surface during layer growth. *Geochimica et Cosmochimica Acta*, 60, 1543-1552.
- Sanchez, M., Martinez, M.M. (2010). Dry accelerated carbonation reaction studies for lime, hydrated lime and steel slag. *Proceedings of Third International Conference on Accelerated Carbonation for Environmental Engineering ACEME10*, Åbo Akademi University, Åbo/Turku, 179-188.
- Santos, R., Van Bouwela, J., Vandeveldae, E., Mertensb,G., Elsenb, J., Van Gerven, T. (2013). Accelerated mineral carbonation of stainless steel slags for CO₂ storage and waste valorization: Effect of process parameters on geochemical properties. *International Journal of Greenhouse Gas Control*, 17, 32-45.
- Todorovic, J., Ecke, H. (2006). Demobilisation of critical contaminants in four typical waste-to-energy ashes by carbonation. *Waste Management*, 26, 430-441.
- Uliasz-Bocheńczyk, A. (2009). *Mineralna sekwestracja CO₂ w wybranych odpadach*. Kraków: Wydawnictwo IGSMiE PAN, 139.
- Zhang, H., He, P.J., Shao, Li.M, Lee, D.J. (2008). Temporary stabilization of air pollution control residues using carbonation. *Waste Management*, 28, 509-517.

The Impact of the CO₂ Mineral Sequestration Process on the Leachability of Pollutants from Slags from Steel Industry

Abstract

Poland has ratified the Kyoto Protocol and belongs to the European Union, due this facts is committed to reducing carbon dioxide emissions. Iron and steel production industry is one of major emitters of CO₂. It's also industry creating wastes such as slags from smelting (blast furnace, steelmaking) code 10 02 01. Steelmaking slags are mainly used in road construction. Blast furnace slags are used to produce cement. Although slags from iron and steel production are used economically, due to their chemical composition, they are classified as waste. The slags potentially could be the raw material used to mineral sequestration of carbon dioxide.

An important issue, related to mineral sequestration of carbon dioxide, is the impact of the mineral sequestration process on the leachability of pollutants from used waste.

Studies presented in the paper were conducted using a blast furnace slags and steel slags with a high content of CaO, respectively – 44% and 20%.

The limiting factor of calcite formation is the maximum amount of available calcium ions in an aqueous environment. Due to this fact, leachability of the analyzed slags has been examined. Leachability of the steelmaking slags was 28.9 mg / dm³, and for the blast furnace slag 3.11 mg / dm³.

The process direct carbonation gas-solid was conducted using 100% CO₂ in a sealed chambers where they were seasoning for 28 days. Slags were treated carbon dioxide without prior milling, so that no additional energy is used and the indirect emissions are avoided.

Studies have shown the pH lowering from 12 to 10, this indicating the carbonation process. Analysis of the results of steelmaking slags leachability tests and blast furnace slags have shown that the process of carbon dioxide sequestration contributed to the decrease in the concentration of Ba, Sr, Mn, Ni, Co, Hg, Sb, V, Cu, Mo, SO₄. Leachability of other pollutants: Zn, Pb, Cd, Cr, As, has not changed.

The results were compared with the results of aqueous suspensions leachability analysis of steel slags.

The leachability of pollutants: Zn, Cu, Pb, Cr, As, SO₄, Cl from unground steelmaking slags was lower compared to aqueous suspensions. Values of Ni leachability were the same, Hg and Cd higher than those found for the slag-water suspensions.

Streszczenie

Polska, jako kraj ratyfikujący Protokół z Kioto i należąca do Unii Europejskiej zobowiązana jest do obniżania emisji ditlenku węgla.

Przemysłem, który jest znaczącym emitentem CO₂ jest hutnictwo żelaza i stali. W przemyśle tym powstają również odpady – źużle z procesów wytapiania (wielkopiecowe, stalownicze) o kodzie 10 02 01. Źużle stalownicze stosowane są przede wszystkim w drogownictwie, a źużle wielkopiecowe do produkcji cementów. Pomimo, że są one wykorzystywane gospodarczo, źużle z hutnictwa żelaza i stali, ze względu na swój skład chemiczny, są odpadami, które potencjalnie mogą być surowcem stosowanym do mineralnej sekwestracji ditlenku węgla.

Proces mineralnej sekwestracji przy zastosowaniu źużli hutniczych może być prowadzony metodą bezpośrednią – jednoetapową, w której poddawane są bezpośrednio działaniu ditlenku węgla lub pośrednią – dwuetapową, w której

składniki reaktywne są wstępnie ekstrahowane z matrycy mineralnej, a następnie poddawane reakcji z CO₂.

Ważnym zagadnieniem związanym z mineralną sekwestracją ditlenku węgla jest wpływ prowadzenia procesu na wymywalność zanieczyszczeń ze stosowanych odpadów.

Przedstawione w artykule badania prowadzono przy zastosowaniu żużli wielkopiecowych oraz żużli stalowniczych charakteryzujących się wysoką zawartością CaO, odpowiednio: 44% i 20%.

Ponieważ, czynnikiem ograniczającym powstawanie kalcytu, jest maksymalna ilość dostępnych jonów wapnia w środowisku wodnym, zbadano ich wymywalność z analizowanych żużli, która dla żużli stalowniczych wyniosła 28,9 mg/dm³ i 3,11 mg/dm³ dla żużli wielkopiecowych.

Proces prowadzono przy zastosowaniu 100% CO₂ jako karbonatyzację bezpośrednią gaz-ciało stałe w szczelnych komorach, w których były sezonalowane przez 28 dni. Żużele poddano działaniu ditlenku węgla bez wcześniejszego mielenia, dzięki temu nie jest wydatkowana dodatkowa energia i przez to unikana jest emisja pośrednia.

Badania wykazały obniżenie pH z wartości 12 do 10 wskazujące na zachodzenie procesu karbonatyzacji. Analiza otrzymanych wyników badań wymywalności żużli stalowniczych i wielkopiecowych wykazały, że proces sekwestracji ditlenku węgla wpłynął na obniżenie stężenia jonów Ba, Sr, Mn, Ni, Co, Hg, Sb, V, Cu, Mo, SO₄. Wymywalność pozostałych zanieczyszczeń: Zn, Pb, Cd, Cr, As nie uległa zmianie.

Stwierdzono również wysoką wymywalność jonów wapnia i magnezu z żużli stalowniczych.

Uzyskane wyniki badań porównano z rezultatami analiz z wymywalnością zawiesin wodnych żużla stalowniczego.

Z niezmiełonych żużli stalowniczych, wymywalność jonów Zn, Cu, Pb, Cr, As, SO₄, Cl była niższa w porównaniu z zawiesinami wodnymi. Wartości wymywalności Ni była taka sama, a Hg i Cd wyższe od tych stwierdzonych dla zawiesin żużlowo-wodnych.

Słowa kluczowe:

żużele stalownicze, granulowane żużele wielkopiecowe, wymywalność, mineralna sekwestracja, CO₂

Keywords:

steelmaking slag, granulated blast furnace slag, leachability, mineral sequestration, CO₂